

ОБЪЕДИНЕННЫЙ  
ИНСТИТУТ  
ЯДЕРНЫХ  
ИССЛЕДОВАНИЙ  
ДУБНА

P4-86-696

С.И.Виницкий, М.Б.Кадо́мцев\*

АДИАБАТИЧЕСКОЕ  
ПРЕДСТАВЛЕНИЕ ЗАДАЧИ ТРЕХ ТЕЛ  
В ГИПЕРСФЕРИЧЕСКИХ КООРДИНАТАХ  
Постановка задачи

Направлено в "J.Phys.B."

---

\* Институт атомной энергии им.И.В.Курчатова, Москва.

1986

I. Введение

Хорошо известно, что применение адиабатического метода в физике атомных столкновений основано на адиабатическом разделении быстрого движения электронов от медленного движения ядер<sup>/1/</sup>. Фундаментальную роль здесь играет задача о движении электрона в поле двух фиксированных кулоновских центров. Разделение переменных в этой задаче позволяет дать полную классификацию состояний электрона и построить эффективные алгоритмы ее решения<sup>/2/</sup>. Отметим, что несмотря на давность и кажущуюся простоту задачи двух центров, изучению аналитических свойств ее решений было выполнено лишь в самое последнее время<sup>/3/</sup>. В результате задача о медленных столкновениях полороподобного атома с ядром получила исчерпывающее решение<sup>/4/</sup>.

При переходе к задачам мезоатомной физики ядра уже нельзя считать бесконечно тяжелыми по сравнению с мюоном, поэтому коллательно ввести новые адиабатические переменные, с самого начала учитывающие конечность масс ядер. В работах<sup>/5,6/</sup> было показано, что в качестве медленной переменной  $R_G$  следует использовать порции линейный инвариант тензора инерции системы трех частиц (см. рис. I):

$$R_G^2 = MR^2 + mr^2 = m_a r_a^2 + M_a R_a^2 = m_b r_b^2 + M_b R_b^2 \quad (I)$$

Если частица  $c$  - мюон, а частицы  $a$  и  $b$  - ядра, то систему трех частиц естественно описывать якобиевской парой  $\vec{R}, \vec{r}$  и соответствующими приведенными массами ядер  $M$  и мюона  $m$  (см. рис. I). Тогда медлен-

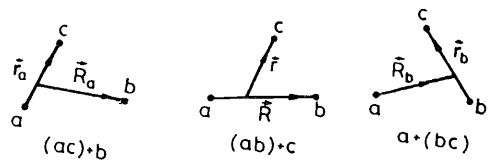


Рис. I. Координаты Якоби системы трех частиц  $a, b, c$  и соответствующие им приведенные массы:

- a)  $\vec{r}_a, \vec{R}_a: m_a^{-1} = M_a^{-1} + M_c^{-1}, M_a^{-1} = (M_a + M_c)^{-1} + M_b^{-1}$
- b)  $\vec{r}_b, \vec{R}_b: m_b^{-1} = M_b^{-1} + M_c^{-1}, M_b^{-1} = (M_b + M_c)^{-1} + M_a^{-1}$
- c)  $\vec{R}, \vec{r}: M^{-1} = M_a^{-1} + M_b^{-1}, m = (M_a + M_b)^{-1} + M_c^{-1}$

ную переменную  $R_G$  можно рассматривать как (гипер)радиус пятимерной сферы  $S^5$ , заданной сферическими углами якобиевских векторов  $\vec{R}$  и

$\vec{r}: \theta, \phi$  и  $\psi, \varphi$  (см. рис. 2), а также дополнительным углом  $\alpha$ <sup>/6,7/</sup>:

$$R = \frac{1}{\sqrt{M}} R_G \sin \alpha / 2$$

$$r = \frac{1}{\sqrt{m}} R_G \cos \alpha / 2 \quad (2)$$

Движение на сфере  $S^5$  считается быстрым, и полный набор собственных функций и собственных значений угловой части гамильтониана трех частиц при каждом фиксированном значении  $R_G$  образует адиабатический базис (AB) и термы гиперсферической задачи двух центров. Усреднение по гиперсферическому AB приводит к системе связанных обыкновенных дифференциальных уравнений по медленной переменной  $R_G$ . Такая параметризация уже не зависит от выбора конкретной якобиевской пары и позволяет описывать процессы рассеяния типа  $(ac) + b \rightarrow a + (bc)$ , поскольку гиперрадиус  $R_G$  при  $R_G \gg 1$  переходит с точностью до множителя в якобиевские векторы  $R_a$  и  $R_b$ <sup>/8,9/</sup> (см. рис. Ia и Ib):

$$R_G \approx \sqrt{M_a} R_a \left(1 + \frac{1}{2} \frac{m_a}{M_a} \frac{r_a^2}{R_a^2}\right) \approx \sqrt{M_b} R_b \left(1 + \frac{1}{2} \frac{m_b}{M_b} \frac{r_b^2}{R_b^2}\right)$$

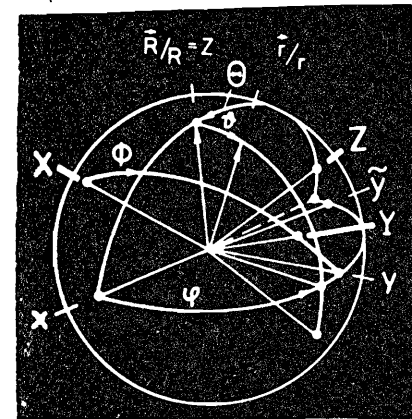


рис. 2. Вращающаяся система координат  $xyz$  задана на сферических ортах вектора  $\vec{R} = \{R\theta\phi\}$ . Вектор  $\vec{r} = \{r\psi\varphi\}$  задан во вращающейся системе координат  $xyz$ : угол  $\psi$  - поворот вокруг  $Z$ , отсчитывается от оси  $x$ , угол  $\varphi$  - поворот вокруг  $\hat{y}$ , отсчитывается от оси  $Z$ , ось  $\hat{y}$  перпендикулярна плоскости трех частиц.

В настоящей работе в результате использования точных интегралов движения: полного момента  $\vec{J}^2$ , его проекции  $J_z$  на ось  $Z$  неподвижной системы координат и полной четности  $P_{tot}$ , гиперсферическую задачу

двух центров удалось свести к системе  $J+I$ -двумерных краевых задач в области  $\omega = \{\alpha, \psi\}$ . Показано, что при малых  $R_G$  адиабатический базис и термы переходят соответственно в собственные функции и собственные значения угловой части оператора Лапласа на сфере  $S^5$ . В результате найдена асимптотика полной волновой функции в точке тройного соударения  $R_G \rightarrow 0$  с явно выделенной логарифмической особенностью Фока<sup>/7/</sup> по медленной переменной  $R_G$ . Это означает, что гиперсферический адиабатический базис удовлетворяет физическим граничным условиям задачи рассеяния при  $R_G \ll 1$ . Классификация состояний гиперсферического АВ в пределе разведенных атомов  $R_G \gg 1$  дана в наших предыдущих работах<sup>/8,9/</sup>. Там же доказана согласованность АВ с физическими граничными условиями задачи рассеяния для процессов типа:  $(ac)+b \rightarrow a+(bc)$ . Полученные асимптотики позволяют использовать известные численные алгоритмы<sup>/10/</sup> для нахождения гиперсферического АВ при всех значениях  $R_G$  и исследовать его аналитические свойства. В результате появляется возможность адекватного описания медленных мезоатомных столкновений в проблеме мюонного катализа<sup>/11/</sup>.

## 2. Постановка задачи

Рассмотрим систему трех кулоновских частиц  $a, b$  и  $c$  с зарядами  $Z_a, Z_b$  и  $Z_c = -1$  и массами  $M_a \geq M_b > M_c = 1$ ,  $e = \hbar = M_c = 1$ , и будем называть частицы  $a$  и  $b$  ядрами, а частицу  $c$  - мюоном. Уравнение Шредингера в якобиевских координатах  $\vec{R}, \vec{r}$  (см. рис.1) имеет стандартный вид:

$$H \Psi = E \Psi, \quad H = T + \tilde{V}, \quad T = -\frac{1}{2M} \Delta_{\vec{R}} - \frac{1}{2m} \Delta_{\vec{r}} \quad (3)$$

$$M^{-1} = M_a^{-1} + M_b^{-1}, \quad m^{-1} = 1 + (M_a + M_b)^{-1}.$$

Будем считать, что векторы  $\vec{R}$  и  $\vec{r}$  заданы сферическими компонентами  $\vec{R} = \{R \Theta \Phi\}$  и  $\vec{r} = \{r \psi \varphi\}$  (см. рис.1,2), поскольку выражение для потенциальной энергии:

$$\tilde{V} = -\frac{Z_a}{|\vec{r} + \gamma_a \vec{R}|} - \frac{Z_b}{|\vec{r} + \gamma_b \vec{R}|} + \frac{Z_a Z_b}{R} \quad (4)$$

$$\gamma_a = M_b / (M_a + M_b), \quad \gamma_b = -M_a / (M_a + M_b)$$

зависит от модулей векторов  $|\vec{R}|, |\vec{r}|$  и угла  $\psi$  между ними и не зависит от ориентации треугольника  $abc$  в пространстве (рис.2). Тогда оператор кинетической энергии  $T$  преобразуется к виду<sup>/12/</sup>:

$$T = -\frac{1}{2M} \frac{1}{R^2} \frac{\partial}{\partial R} R^2 \frac{\partial}{\partial R} - \frac{1}{2m} \frac{1}{r^2} \frac{\partial}{\partial r} r^2 \frac{\partial}{\partial r} + \frac{\vec{L}^2}{2mr^2} + \frac{(\vec{J} - \vec{L})^2}{2MR^2}.$$

Здесь  $\vec{J}$  - полный орбитальный момент,  $\vec{L}$  - орбитальный момент мюона. Переход согласно (2) к гиперсферическим координатам  $\{R, \Omega\} = \{R, \alpha \psi \Theta \Phi\}$  (здесь и далее индекс  $G$  у  $R_G$  будет опускаться) позволяет придать гамильтониану  $H$  особенно изящный вид:

$$H = -\frac{1}{2} \frac{1}{R^5} \frac{\partial}{\partial R} R^5 \frac{\partial}{\partial R} + h. \quad (5)$$

Здесь  $h$  - угловая часть гамильтониана на сфере  $S^5$ :

$$h = -\frac{1}{2R^2} \left\{ \frac{4}{\sin^2 \alpha} \left( \frac{\partial}{\partial \alpha} \sin^2 \alpha \frac{\partial}{\partial \alpha} - \vec{L}^2 \right) - \frac{\vec{J}^2 - 2\vec{L}\vec{J}}{\sin^2 \alpha / 2} \right\} + \frac{1}{R} V(\alpha, \psi) \quad (6)$$

зависит от  $R$  как от параметра. Потенциальная энергия  $\tilde{V} = R^{-1} V(\alpha, \psi)$

$$V = \frac{\sqrt{M}}{\sin \alpha / 2} \left[ -\sum_{p=a,b} Z_p \left\{ \frac{M}{m} \operatorname{ctg}^2 \alpha / 2 + 2\gamma_p \sqrt{\frac{M}{m}} \operatorname{ctg} \alpha / 2 \cos \psi + \gamma_p^2 \right\}^{1/2} + Z_a Z_b \right] \quad (7)$$

обращается в бесконечность в точке тройного соударения  $R=0$  и в точках парных соударений частиц:

$$(ac) \quad \psi = \pi \quad \operatorname{ctg} \alpha / 2 = \gamma_a \sqrt{m/M}$$

$$(bc) \quad \psi = 0 \quad \operatorname{ctg} \alpha / 2 = |\gamma_b| \sqrt{m/M}$$

$$(ab) \quad \psi \in [0, \pi] \quad \alpha = 0.$$

Волновая функция  $\Psi$  определена в области  $\{R, \Omega\} = \{0 \leq R < \infty, 0 \leq \alpha \leq \pi, 0 \leq \psi \leq \pi, 0 \leq \varphi \leq 2\pi, 0 \leq \Theta \leq \pi, 0 \leq \Phi \leq 2\pi\}$  и для связанных состояний системы трех частиц (мезомолекулы) нормирована условием

$$\int R^2 dR d\Omega |\Psi(R, \Omega)|^2 = 1, \quad (8)$$

где

$$d\Omega = d\omega d\psi \sin \theta d\Theta d\Phi, \quad d\omega = \tau d\alpha d\psi$$

$$\tau = 1/8 (1/mM)^{3/2} R^3 \sin^2 \alpha \sin \psi.$$

Гиперсферический АВ определяется как полный набор решений задачи двух центров на сфере  $S^5 \equiv \Omega$  :

$$h \Phi_i(\Omega; \mathcal{R}) = E_i(\mathcal{R}) \Phi_i(\Omega; \mathcal{R}), \quad (9)$$

нормированных условием:

$$\langle \Phi_i | \Phi_j \rangle = \int d\Omega \Phi_i^*(\Omega; \mathcal{R}) \Phi_j(\Omega; \mathcal{R}) = \delta_{ij}. \quad (10)$$

Гамильтониан (6) имеет чисто дискретный спектр, его  $E_i(\mathcal{R})$  – собственные значения – термы задачи двух центров (9), зависят от  $\mathcal{R}$  как от параметра при фиксированном наборе квантовых чисел  $i$ . Движение на пятимерной сфере  $\Omega$  можно считать быстрым по сравнению с движением на полуоси  $\mathcal{R}$ , благодаря присутствию в  $H$  формального параметра малости  $m/M < 1$ , который для мезомолекулярных систем составляет величину  $\sim 0,1^{1/7,8/}$ . Это дает возможность представить полную волновую функцию в виде разложения по адиабатическому базису:

$$\Psi(\mathcal{R}, \Omega) = \mathcal{R}^{-1} \sum_j \Phi_j(\Omega; \mathcal{R}) \chi_j(\mathcal{R}). \quad (11)$$

Подстановка разложения (II) в уравнение (3) и усреднение по гиперсферическому АВ приводит к системе обыкновенных дифференциальных уравнений для радиальных волновых функций:

$$\left( \frac{d^2}{d\mathcal{R}^2} + 2E - U_{ii} \right) \chi_i = \sum_{j \neq i} U_{ij} \chi_j, \quad (12)$$

где

$$U_{ij} = W_i \delta_{ij} + K_{ij} + 2Q_{ij} \frac{d}{d\mathcal{R}}$$

$$W_i = 2E_i(\mathcal{R}) + 4/\mathcal{R}^2$$

$$K_{ij} = \langle \Phi_i | -\frac{\partial^2}{\partial \mathcal{R}^2} - \frac{3}{\mathcal{R}} \frac{\partial}{\partial \mathcal{R}} | \Phi_j \rangle - \frac{1}{\mathcal{R}^2} \delta_{ij}$$

$$Q_{ij} = \langle \Phi_i | -\frac{\partial}{\partial \mathcal{R}} | \Phi_j \rangle - \frac{3}{2} \frac{1}{\mathcal{R}} \delta_{ij}.$$

Матрицу  $K_{ij}$  можно представить в виде суммы симметричной и антисимметричной матриц

$$K_{ij} = H_{ij} + \left( \frac{d}{d\mathcal{R}} Q_{ij} \right) - \frac{1}{4} \frac{1}{\mathcal{R}^2} \delta_{ij}$$

$$H_{ij} = H_{ji} = \int d\Omega \frac{\partial \Phi_i^*}{\partial \mathcal{R}} \frac{\partial \Phi_j}{\partial \mathcal{R}} - \frac{9}{4} \frac{1}{\mathcal{R}^2} \delta_{ij}$$

$$K_{ij} - K_{ji} = 2 \left( \frac{d}{d\mathcal{R}} Q_{ij} \right), \quad Q_{ij} = -Q_{ji}. \quad (13)$$

Тогда матрица потенциалов  $U$  приобретает явно самосопряженный вид:

$$U = W + H - \frac{1}{4} \mathcal{R}^{-2} I + Q \frac{d}{d\mathcal{R}} + \frac{d}{d\mathcal{R}} Q.$$

Матричные элементы (13) имеют простую структуру и сводятся к вычислению матричных элементов коммутатора:

$$\left[ \frac{\partial}{\partial \mathcal{R}}, h \right] = -2\mathcal{R}^{-1} h + \mathcal{R}^{-1} \tilde{V}$$

$$Q_{ij} = [\mathcal{R}(E_i - E_j)]^{-1} \langle i | \tilde{V} | j \rangle \quad (14)$$

$$H_{ij} = \sum_{j'} Q_{ij'} Q_{j'j}.$$

При  $i=j$  из (14) следует теорема Гельмана-Фейнмана:

$$\langle i | \tilde{V} | j \rangle = \mathcal{R} \frac{\partial}{\partial \mathcal{R}} E_i + 2E_i.$$

### 3. Гиперсферический адиабатический базис

Упростим гиперсферическую задачу двух центров (9) с помощью точных интегралов движения: полного момента  $\vec{J}^2$ , его третьей проекции  $J_z$  на ось  $Z$  неподвижной системы координат и полной четности  $P_{tot}$  по отношению к инверсии всех координат. Парциальный анализ в представлении полного момента позволяет отделить три угловые переменные  $\Phi \Theta \Psi$ , определяющие ориентацию треугольника частиц  $abc$  в неподвижной системе координат  $XYZ$ :

$$\Phi_i(\Omega; \mathcal{R}) = \sum_{m=0}^J \mathcal{D}_{m m_J}^{J \lambda}(\Phi \Theta \Psi) \Phi_{mi}(\alpha, \nu; \mathcal{R}). \quad (15)$$

Здесь  $\mathcal{D}_{m m_J}^{J \lambda}$  – симметризованные и нормированные  $D$ -функции  $^{12/}$ ,  $m, m_J$  – собственные значения  $J_z, J_z$  на вращающуюся  $\mathcal{Z}$  и неподвижную  $Z$  оси,  $\lambda = \pm 1^J$  и  $\epsilon = \pm 1$  – собственные значения операторов  $P_{tot}$  и  $P_{yz}$  – отражения в плоскости  $YZ$  вращающейся системы коор-

динат  $\Psi \rightarrow \pi - \Psi$ . Первые три квантовые числа в наборе  $i$  определяются значениями  $\{J, m, \delta\}$ . Подстановка разложения (15) в уравнение (9) и усреднение по  $\mathcal{D}_{\text{om}}^{J, \lambda}$  позволяют представить (9) в виде системы  $J+1$ -уравнений для функций  $\{\Phi_{mi}^+(\omega; R)\}_{m=0, J}$  при  $\delta = +1$  и  $J$ -уравнений для функций  $\{\Phi_{mi}^-(\omega; R)\}_{m=1, J}$  при  $\delta = -1$  в области  $\omega = \{0 \leq \alpha \leq \pi, 0 \leq \vartheta \leq \pi\}$  (здесь и далее знак  $\delta$  иногда будем выписывать явно):

$$h_{mm-1} \Phi_{m-1i}^{\delta} + (h_{mm} - E_i) \Phi_{mi}^{\delta} + h_{mm+1} \Phi_{m+1i}^{\delta} = 0, \quad (9')$$

где

$$h_{mm} = T + V_{mm}^{\text{rot}} + R^{-1}V$$

$$T = -\frac{1}{2R^2} \frac{4}{\sin^2 \alpha} \left( \frac{\partial}{\partial \alpha} \sin^2 \alpha \frac{\partial}{\partial \alpha} + \frac{1}{\sin \vartheta} \frac{\partial}{\partial \vartheta} \sin \vartheta \frac{\partial}{\partial \vartheta} \right)$$

$$V_{mm}^{\text{rot}} = \frac{4m^2}{2R^2 \sin^2 \alpha \sin^2 \vartheta} + \frac{J(J+1) - 2m^2}{2R^2 \sin^2 \alpha / 2}$$

$$h_{mm \pm 1} = T_{mm \pm 1}^{\text{rot}} + V_{mm \pm 1}^{\text{rot}}$$

$$T_{mm \pm 1}^{\text{rot}} = \pm \frac{\gamma_{mm \pm 1}^{J\delta}}{2R^2 \sin^2 \alpha / 2} \frac{\partial}{\partial \vartheta}, \quad V_{mm \pm 1}^{\text{rot}} = \frac{\gamma_{mm \pm 1}^{J\delta}}{2R^2 \sin^2 \alpha / 2} (m \pm 1) \text{ctg} \vartheta$$

$$\gamma_{mm+1}^{J\delta} = -\{1 + (\sqrt{2}-1)\delta_{m0}\} \{(J+m+1)(J-m)\}^{1/2}$$

$$\gamma_{mm-1}^{J\delta} = -\{1 + (\sqrt{2}-1)\delta_{m1}\} \{(J-m+1)(J+m)\}^{1/2}$$

Кулоновская потенциальная энергия  $V$  определяется выражением (7). При  $\delta = -1$ :  $\mathcal{D}_{\text{om}}^{J, \lambda} = 0$ , поэтому  $\Phi_{0i} = 0$  и  $\gamma_{01}^+ = \gamma_{10}^- = 0$ , т.е. в этом случае уравнение с индексом  $m=0$  отсутствует. Решения  $\Phi_{mi}^{\delta}$  нормированы условием

$$\sum_{m=(1-\delta)/2}^J \int d\omega \Phi_{mi}^{\delta}(\omega; R) \Phi_{mj}^{\delta}(\omega; R) = \delta_{ij}. \quad (10')$$

Систему уравнений (9') для векторов-решений  $\Phi_i \equiv \{\Phi_{mi}^{\delta}(\omega; R)\}_{m=\frac{1-\delta}{2}, J}$  схематично можно представить в матричном виде:

$$h \Phi_i(\omega; R) = E_i(R) \Phi_i(\omega; R), \quad (9'')$$

где

$$h = \begin{pmatrix} & & 0 \\ & & \\ 0 & & \end{pmatrix}, \quad \Phi_i = \begin{pmatrix} | \\ | \\ | \end{pmatrix}, \quad E_i(R) = E_i(R) I.$$

Здесь  $I$  - единичная матрица размерностью:  $(J+1) \times (J+1)$  при  $\delta = +1$  и  $J \times J$  при  $\delta = -1$ ;  $h$  - самосопряженный оператор в пространстве  $L_2(\omega)$  со скалярным произведением

$$(\Phi_i^T, \Phi_j) = \delta_{ij} \quad (10'')$$

имеет чисто дискретный спектр  $E_i(R)$ . Для решения задачи на собственные значения (9') можно использовать эффективные численные алгоритмы [10], ориентированные на решение многомерных краевых задач.

Другой способ решения этой проблемы состоит в сведении (9') к бесконечной системе обыкновенных дифференциальных уравнений по переменной  $\alpha$ . Решение (9') ищем в виде разложения по нормированным присоединенным полиномам Лежандра

$$\Phi_{mi}(\omega; R) = \sum_{\ell=m}^m P_{\ell}^m(\cos \vartheta) \Phi_{\ell mi}(\alpha; R). \quad (16)$$

Подстановка (16) и (9') и усреднение по  $P_{\ell}^m$  приводят к бесконечной системе обыкновенных дифференциальных уравнений для коэффициентов  $\Phi_{\ell mi}(\alpha; R)$  по переменной  $\alpha$  ( $0 \leq \alpha \leq \pi$ ):

$$h_{\ell m, \ell m-1} \Phi_{\ell m-1i} + (h_{\ell m, \ell m} - E_i) \Phi_{\ell mi} + h_{\ell m, \ell m+1} \Phi_{\ell m+1i} = 0, \quad (9''')$$

$$= -R^{-1} \sum_{\ell'=m}^m V_{\ell m, \ell' m} \Phi_{\ell' mi},$$

где

$$h_{\ell m, \ell m} = -\frac{1}{2R^2} \left\{ \frac{4}{\sin^2 \alpha} \frac{\partial}{\partial \alpha} \sin^2 \alpha \frac{\partial}{\partial \alpha} - \frac{\ell(\ell+1)}{\cos^2 \alpha / 2} - \frac{J(J+1) - 2m^2 + \ell(\ell+1)}{\sin^2 \alpha / 2} \right\}$$

$$h_{\ell m, \ell m \pm 1} = \frac{\gamma_{\ell m \pm 1}^{J\delta}}{2R^2 \sin^2 \alpha / 2} \langle \ell m | \mathcal{L}_{\mp} | \ell m \pm 1 \rangle$$

$$\langle \ell m | \mathcal{L}_{\mp} | \ell m \pm 1 \rangle = \{(\ell \pm m + 1)(\ell \mp m)\}^{1/2}.$$

Матричные элементы кулоновской потенциальной энергии  $V$  равны:

$$V_{\ell m, \ell' m} = \frac{Z_a Z_b \sqrt{M}}{\sin \alpha / 2} \delta_{\ell \ell'} - \sum_{p=a, b} \left\{ \begin{array}{l} (V_p)_{<}, \text{ctg} \alpha / 2 < | \gamma_p | \sqrt{m/M} \\ (V_p)_{>}, \text{ctg} \alpha / 2 > | \gamma_p | \sqrt{m/M} \end{array} \right\} \quad (17)$$

$$(V_P)_< = \frac{Z_P \sqrt{M}}{\delta_P \sin \alpha/2} \sum_{\ell''=0}^J \left( \sqrt{\frac{M}{m}} \frac{1}{\delta_P} \operatorname{ctg} \alpha/2 \right)^{\ell''} B_{\ell''}^P$$

$$(V_P)_> = \frac{Z_P \sqrt{m}}{\cos \alpha/2} \sum_{\ell''=0}^J \left( \sqrt{\frac{m}{M}} \delta_P \operatorname{tg} \alpha/2 \right)^{\ell''} B_{\ell''}^P$$

$$B_{\ell''}^P = \left\{ \begin{array}{l} (-1)^{\ell''}, p=a \\ 1, p=b \end{array} \right\} \left\{ (2\ell'+1)(2\ell+1) \right\}^{1/2} C_{\ell' m' \ell'' 0}^{e m} C_{\ell' 0 \ell'' 0}^{e 0}$$

Отметим, что выполненный нами переход во вращающуюся систему координат  $X Y Z$  привел к существенному упрощению матричных элементов потенциальной энергии (I8), по сравнению с известным выражением в неподвижной системе координат  $X' Y' Z'$ . В самом деле, выражение (I8) содержит лишь произведение двух коэффициентов Клебша-Гордана, тогда как в обычном подходе дополнительно присутствует еще и  $6-j$  символ. При численной реализации необходимо ограничиться конечным числом членов как в (I6), так и в (I8). Таким образом, одномерный подход не позволяет исследовать аналитические свойства гиперсферического АВ базиса, и, следовательно, получать надежные численные результаты. Однако он оказывается полезным при исследовании асимптотических свойств решений гиперсферического АВ в случае  $R \rightarrow 0$ .

#### 4. Классификация состояний при $R \rightarrow 0$

При  $R \rightarrow 0$  для начала можно ограничиться рассмотрением центробежной (левой) части уравнения (9\*\*), поскольку она становится ведущей  $\sim R^{-2}$  по сравнению с потенциальной (правой) частью, имеющей порядок  $\sim R^{-1}$ :

$$\left\{ \frac{4}{\sin^2 \alpha} \frac{\partial}{\partial \alpha} \sin^2 \alpha \frac{\partial}{\partial \alpha} - \frac{\ell(\ell+1)}{\cos^2 \alpha/2} + 2 E_i R^2 \right\} \Phi_{\ell m i}(\alpha) - \sum_{m'=m-1}^{m+1} \frac{\langle i l m | (\vec{J} - \vec{L})^2 | i \ell m' \rangle}{\sin^2 \alpha/2} \Phi_{\ell m' i}(\alpha) = 0. \quad (I9)$$

Решение системы уравнений (I9) по  $m=0, \dots, J$  ищем в виде

$$\Phi_{\ell m i}(\alpha) = \sum_L G_{m L}^{\ell J \delta} \Phi_{L \ell}^{\mathcal{K}}(\alpha), \quad L = |J - \ell|, \dots, J + \ell, \quad (20)$$

где

$$G_{m L}^{\ell J \delta} = (-1)^{\ell+m} \frac{1 + \delta(-1)^{J-\ell-L}}{2(1 + \delta_{m0})} C_{\ell m J - m}^{L 0}$$

— коэффициенты ортогонального преобразования Ченга-Вано<sup>/I3/</sup>. Подстановка (20) с учетом равенства

$$\langle i l m | (\vec{J} - \vec{L})^2 | i \ell m' \rangle = \sum_{L=|J-\ell|}^{J+\ell} G_{m L}^{\ell J \delta} L(L+1) G_{m' L}^{\ell J \delta}$$

и замены  $\alpha$  на  $2\beta$  приводит (I9) к уравнению стандартного вида для гиперсферических гармоник на сфере  $S^5$  по переменной  $\beta = \alpha/2$  ( $0 \leq \beta \leq \pi/2$ )<sup>/I4/</sup>

$$\left\{ \frac{1}{\sin^2 \beta \cos^2 \beta} \frac{\partial}{\partial \beta} \sin^2 \beta \cos^2 \beta \frac{\partial}{\partial \beta} - \frac{L(L+1)}{\sin^2 \beta} - \frac{\ell(\ell+1)}{\cos^2 \beta} + 2 E_i R^2 \right\} \Phi_{L \ell}^{\mathcal{K}}(2\beta) = 0. \quad (21)$$

Собственные значения этого уравнения

$$2 E_i R^2 = \mathcal{K}(\mathcal{K} + 4) \quad (22)$$

определяются гипермоментом  $\mathcal{K} = 2k + L + \ell$ , а собственные функции выражаются через полиномы Якоби

$$\Phi_{L \ell}^{\mathcal{K}}(2\beta) = N_{L \ell}^{\mathcal{K}} (\sin \beta)^L (\cos \beta)^\ell P_k^{(L+1/2, \ell+1/2)}(2\beta),$$

$$N_{L \ell}^{\mathcal{K}} = 2^{1/2} \left\{ \frac{(2k+L+\ell+2) k! (k+L+\ell+1)!}{\Gamma(k+L+3/2) \Gamma(k+\ell+3/2)} \right\}^{1/2} \quad (23)$$

с целым ( $0, 1, \dots$ ) индексом  $k = (\mathcal{K} - L - \ell)/2$ , который определяет число нулей  $\Phi_{L \ell}^{\mathcal{K}}$  по переменной  $\beta$ . Таким образом, состояния  $i$  — гиперсферической задачи двух центров при  $R \rightarrow 0$  характеризуются также гипермоментом  $\mathcal{K} : i = \{J m_J \delta \mathcal{K}\}$ , который фиксирует значение центробежной энергии  $E_i = \mathcal{K}(\mathcal{K} + 4)/2R^2$ . В отсутствие взаимодействия частиц орбитальные моменты моона и ядер  $\ell$  и  $L$  являются хорошими квантовыми числами и по ним есть вырождение при фиксированном значении  $\mathcal{K}$ .

Отметим, что полная четность  $\lambda = (-1)^{\mathcal{K}}$ , причем для состояний с  $\delta = +1$ :

$$\mathcal{K} = J + 2s, \quad \text{где } s = 0, 1, 2, \dots \quad (23')$$

и кратность вырождения по  $\ell$  и  $L$  равна:  $(s+1)(J+1)$ .

Для состояний с  $\delta = -1$ :

$$\mathcal{K} = J + 2S + 1 \quad (23'')$$

и кратность вырождения равна:  $(S+1)J$ .

При включении взаимодействия вырождение снимается и правильные функции нулевого приближения по переменной  $\alpha$  необходимо искать в виде линейной комбинации

$$\Phi_{emi}^{(0)}(\alpha) = \sum_{L=|J-1|}^{J+1} b_{LL}^i G_{mL}^{LJ\delta} \Phi_{Le}^{\mathcal{K}}(\alpha). \quad (24)$$

Коэффициенты  $b_{LL}^i$  определяются одновременно с первой поправкой  $E_i^{(1)}$  к энергии

$$E_i(\mathcal{R}) = \mathcal{K}(\mathcal{K}+4)/2\mathcal{R}^2 + E_i^{(1)}/\mathcal{R} + E_i^{(2)} + \dots$$

из секулярного уравнения

$$\sum_{\ell=\frac{1-\delta}{2}}^{J+S} \sum_{L'=|J-1|}^{J+1} \{ \langle J\delta \mathcal{K} L L' | V | J\delta \mathcal{K} L' L' \rangle - E_i^{(1)} \delta_{\ell\ell'} \delta_{LL'} \} b_{LL'}^i = 0, \quad (25)$$

где

$$\langle J\delta \mathcal{K} L L' | V | J\delta \mathcal{K} L' L' \rangle = \sum_{m=0}^J G_{mL}^{LJ\delta} V_{\ell m, \ell' m}^{\mathcal{K} L L'} G_{mL'}^{\ell' J\delta}$$

$$V_{\ell m, \ell' m}^{\mathcal{K} L L'} = \int_0^\pi d\alpha \sin^2 \alpha \Phi_{Le}^{\mathcal{K}}(\alpha) V_{\ell m, \ell' m}(\alpha) \Phi_{L'e'}^{\mathcal{K}}(\alpha). \quad (26)$$

Здесь  $S$  определено согласно (23), а состояния характеризуются теперь набором квантовых чисел  $i = \{Jm_J \delta \mathcal{K} \nu\}$ , где значения  $\nu$  нумеруют в порядке возрастания  $E_i^{(1)}$  - корни секулярного уравнения при фиксированных  $Jm_J \delta \mathcal{K}$ . Отметим, что для тождественных ядер возникает дополнительная симметрия гамильтониана  $h$  относительно инверсии координат мюона  $P_\mu$ :  $\nu \rightarrow \pi - \nu$ ,  $\varphi \rightarrow \varphi + \pi$ . При этом размерность секулярного уравнения понижается за счет отделения состояний с четными ( $\nu$ ) и нечетными ( $\mu$ ) значениями орбитального момента мюона  $\ell$ , т.е. связь между  $b_{LL}^i$  и  $b_{L'L'+1}^i$  отсутствует. После решения секулярного уравнения (25) правильные функции нулевого приближения двумерной задачи (9') также полностью определены:

$$\Phi_{mi}^{(0)}(\omega) = \sum_{\ell=\frac{1-\delta}{2}}^{J+S} \sum_{L=|J-1|}^{J+1} P_\ell^m(\cos \nu) b_{LL}^i G_{mL}^{LJ\delta} \Phi_{Le}^{\mathcal{K}}(\alpha). \quad (16)$$

Найденные значения термов и волновых функций при  $\mathcal{R} \ll 1$  позволяют продолжить численное интегрирование двумерной задачи (9') в области

$\omega$  при всех необходимых значениях гиперрадиуса  $\mathcal{R}$ , используя известные численные алгоритмы [10].

Рассмотрим теперь систему уравнений (13) вблизи точки тройного соударения  $\mathcal{R} \rightarrow 0$ :

$$\left\{ \frac{d^2}{d\mathcal{R}^2} + 2E - W_i + \frac{1}{4\mathcal{R}^2} - \tilde{K}_{ii} \right\} X_i - \sum_{j \neq i} \left\{ K_{ij} + 2Q_{ij} \frac{d}{d\mathcal{R}} \right\} X_j = 0. \quad (27)$$

Здесь  $\tilde{K}_{ij} = K_{ij} + 1/4 \mathcal{R}^{-2} \delta_{ij}$ ,  $Q_{ij}$  - регулярные в нуле матричные элементы (14), а  $W_i = W_i^{(0)} \mathcal{R}^{2\delta} + 2E_i^{(1)} \mathcal{R}^{-1} + 2E_i^{(2)} + \dots$ , где  $W_i^{(0)} = \mathcal{K}(\mathcal{K}+4) + 4 = (\mathcal{K}+2)^2$ . Решение (27) ищем в виде

$$X_j(\mathcal{R}) = \sum_{i_0} \mathcal{R}^{\mathcal{K}_0 + 5/2} F_{ji_0}(\mathcal{R}), \quad (28)$$

позволяющем выделить ведущую особенность  $\sim \mathcal{R}^{-2}$ :

$$\left\{ \frac{d^2}{d\mathcal{R}^2} + 2E - W_i + \frac{1}{4\mathcal{R}^2} + \frac{(\mathcal{K}_0 + 5/2)(\mathcal{K}_0 + 3/2)}{\mathcal{R}^2} \right\} F_{ii_0} -$$

$$- \sum_j \left\{ \tilde{K}_{ij} + 2(\mathcal{K}_0 + 5/2) \frac{Q_{ij}}{\mathcal{R}} + 2 \left[ -(\mathcal{K}_0 + 5/2) \frac{\delta_{ij}}{\mathcal{R}} + Q_{ij} \right] \frac{d}{d\mathcal{R}} \right\} F_{ji_0} = 0.$$

Далее, следуя В.А.Фоку [7], ищем решение системы уравнений (29):

$$F_{ji_0} = \sum_{t=0} F_{ji_0}^{(t)} \mathcal{R}^t + \sum_{t=2} \sum_{s=1} F_{ji_0}^{(t,s)} \mathcal{R}^t (\ln \mathcal{R})^s. \quad (30)$$

Первые члены разложения определяются соотношениями:

$$F_{ji_0}^{(0)} = \delta_{ji_0}, \quad F_{i_0 i_0}^{(1)} = E_i^{(1)} / (\mathcal{K}_0 + 5/2). \quad (31)$$

$$F_{ji_0}^{(1)} = \frac{\{ 2(\mathcal{K}_0 + 2) + 1 \} Q_{ji_0}(0)}{(\mathcal{K}_0 + 3)^2 - (\mathcal{K}_j + 2)^2}$$

$$F_{ji_0}^{(2)} = \frac{B_{ji_0}}{(\mathcal{K}_0 + 4)^2 - (\mathcal{K}_j + 2)^2}$$

$$B_{ji_0} = \sum_{j'} \left\{ [2(\mathcal{K}_0 + 2) + 3] Q_{jj'}(0) + 2E_j^{(1)} \delta_{jj'} \right\} F_{j' i_0}^{(1)} +$$

$$+ [2(\mathcal{K}_0 + 2) + 1] \frac{d}{d\mathcal{R}} Q_{ji_0}(0) + K_{ji_0}(0) - (2E - 2E_j^{(2)}) \delta_{ji_0}.$$

Поскольку состояния с четными и нечетными  $\mathcal{K}_j$  не связаны между собой вследствие сохранения полной четности  $\lambda = (-1)^{\mathcal{K}_j}$ , коэффициенты  $F_{j i_0}^{(1)}$  регулярны, а знаменатель коэффициентов  $F_{j i_0}^{(2)}$  обращается в нуль при  $\mathcal{K}_j = \mathcal{K}_0 + 2$ . Поэтому такие коэффициенты необходимо считать равными нулю:

$$F_{j i_0}^{(2)} = 0 \quad \text{при} \quad j \in \{ \mathcal{K}_j = \mathcal{K}_0 + 2 \}$$

и вместо них вводить коэффициенты

$$F_{j i_0}^{(2,1)} = \left[ \frac{B_{j i_0}}{2(\mathcal{K}_0 + 4)} \right]_{j \in \{ \mathcal{K}_j = \mathcal{K}_0 + 2 \}}$$

Последующие члены разложения (30) также могут быть вычислены.

Таким образом, решения системы уравнений (27) по медленной переменной  $\mathcal{R}$  содержат нетривиальную логарифмическую часть, начиная с члена  $F_{j i_0}^{(2,1)} \mathcal{R}^2 \ln \mathcal{R}$  при  $j \in \{ \mathcal{K}_j = \mathcal{K}_0 + 2 \}$ , тогда как для адиабатического базиса и термов задачи (9') имеют место стандартные степенные разложения по  $\mathcal{R}$ .

### 5. Классификация состояний при $\mathcal{R} \rightarrow \infty$

При  $\mathcal{R} \rightarrow \infty$  наличие двух притягивающих потенциалов в  $\hbar$  приводит к тому, что решения (9) локализованы вблизи зарядов  $Z_a$  и  $Z_b$  при  $r/R \approx \gamma_a$ ,  $\nu = \pi$  и  $r/R \approx |\gamma_b|$ ,  $\nu = 0$  и переходят в волновые функции разведенных атомов. Это означает, что полная волновая функция разбивается на две компоненты, отвечающие каналам  $a + bc$  и  $ac + b$ :

$$\Psi(\mathcal{R}, \Omega) = \Psi_a(\mathcal{R}, \Omega) + \Psi_b(\mathcal{R}, \Omega), \quad (\text{II}')$$

где

$$\Psi_p(\mathcal{R}, \Omega) = \mathcal{R}^{-1} \sum_j \Phi_{jp}(\Omega; \mathcal{R}) \chi_{jp}(\mathcal{R}), \quad p = a, b.$$

Матричные элементы  $U_{ij}(\mathcal{R})$  между состояниями разных разведенных атомов в этом пределе экспоненциально малы, и в системе уравнений (12) радиальные функции  $\chi_{ja}$  не связаны с  $\chi_{jb}$ :

$$\sum_j \left\{ \delta_{ij} \left( \frac{d^2}{d\mathcal{R}^2} + 2E \right) - U_{ip, jp} \right\} \chi_{jp} = 0, \quad p = a, b. \quad (\text{I2}')$$

Ниже мы приводим асимптотику решений в канале  $a + bc$ , опуская все промежуточные выкладки, содержащиеся в наших работах<sup>8,9/</sup>. Гамильтониан, термы и решения гиперсферической задачи (9') разлагают-

ся в ряд по обратным степеням  $\mathcal{R}$ . При  $\mathcal{R} \rightarrow \infty$  имеем гамильтониан, энергию и волновые функции водородоподобного атома  $bc$  (см. рис.1). Для построения классификации состояний, т.е. правильных функций нулевого приближения, необходимо учесть в разложении гамильтониана (9') члены  $\sim \mathcal{R}^{-2}$ , которые снимают кулоновское вырождение в слое параболических состояний  $|n_1 n_2 m\rangle$  с фиксированным главным квантовым числом  $n = n_1 + n_2 + m + 1$ . Эквивалентный оператор, соответствующий возмущению  $\sim \mathcal{R}^{-2}$ , имеет вид<sup>9/</sup>:

$$\tilde{\Lambda}_b = \frac{1}{2\mu_b} \left\{ -3 \frac{n}{Z_b} \frac{\mu_b}{m_b} g_b A_z + \frac{3}{2} \vec{\ell}^2 - \left( \frac{1}{2} n^2 + 4 \right) + (\vec{J}^2 - 2\vec{\ell}\vec{J}) \right\}, \quad (\text{32})$$

где множитель  $g_b = Z_a(M_b + Z_b)/(M_b + 1)$  возникает за счет отделения движения центра масс атома  $bc$ , он равен  $Z_a$  при  $Z_b = 1$ ,  $\mu_b = M_a(M_b + 1)/(M_a + M_b + 1)$  - приведенная масса атома  $bc$  и ядра  $a$ ,  $m_b = M_b/(M_b + 1)$  - приведенная масса мюона в атоме  $bc$ ,  $A_z$  - проекция на ось  $z$  вектора Рунге-Ленца

$$\vec{A} = \frac{1}{\sqrt{-2E_{ib}^{(0)}}} \left\{ \frac{1}{2} (\vec{p} \times \vec{\ell} - \vec{\ell} \times \vec{p}) - \frac{Z_b \vec{r}_b}{r_b} \right\},$$

$E_{ib}^{(0)} = -Z_b^2 m_b / 2n^2$  - энергия,  $\vec{p}$  - импульс,  $\vec{\ell}$  - орбитальный момент мюона в атоме  $bc$ ,  $e = \hbar = M_c = 1$ . Правильные функции нулевого приближения (9') в представлении полного момента  $J$  можно выразить линейной комбинацией

$$\tilde{\Psi}_{mib}^{(0)}(\omega) = \sum_{n_2=0}^{n-m-1} a_{n_2 m}^{ib} \Psi_{n_1 n_2 m}(\mu, \nu) \quad (\text{33})$$

кулоновских параболических функций  $\Psi_{n_1 n_2 m}(\mu, \nu)$ ,  $\mu = r_b + z$ ,  $\nu = r_b - z$  во вращающейся системе координат (рис.2). Коэффициенты  $a_{n_2 m}^{ib}$  находятся из решения секулярного уравнения для оператора

$$\tilde{\Lambda}_b^{(2)} a_{n_2 m}^{ib} : \sum_{m' \neq 0} \sum_{n_2'=0}^{\min(J, n-1)} \left[ \langle n_1 n_2 m | J_{m'} \rangle \tilde{\Lambda}_b | n_1' n_2' m' | J_{m'} \rangle - E_{ib}^{(2)} \delta_{n_2 n_2'} \delta_{m m'} \right] a_{n_2' m'}^{ib} = 0. \quad (\text{34})$$

Здесь состояния характеризуются набором квантовых чисел  $ib$ :  $i = \{ J_{m'} \in nq \}$ , где  $q$  нумерует в порядке возрастания корни  $E_{ib}^{(2)}$  секулярного уравнения (34) при фиксированном  $J_{m'} \in n$ . При  $J \geq n-1$  число корней (34) равно  $n^2$ , причем  $n(n+1)/2$  имеют полную четность  $\lambda = +(-1)^J$ , а  $n(n-1)/2 - \lambda = -(-1)^J$ . Из них только  $n(n+1)/2$  не совпадают друг с другом, поскольку состояния с противоположной четностью вырождены. Решая секулярное уравнение (34) (пример приведен в работе<sup>9/</sup>), получаем выражение для терма с точностью  $O(\mathcal{R}^{-2})$ :



$$E_{ib}(\mathcal{R}) = E_{ib}^{(0)} + Z_a(Z_b-1)(\mathcal{R}/\sqrt{m_b})^{-1} + E_{ib}^{(2)}(\mathcal{R}/\sqrt{m_b})^{-2}. \quad (35)$$

Рассмотрим теперь асимптотику радиальных функций  $X_{jb}(\mathcal{R})$  с точностью  $O(\mathcal{R}^{-1})$ , для этого в системе уравнений (I2') достаточно ограничиться членами  $\sim \mathcal{R}^{-2}$ :

$$\left\{ \frac{d^2}{d\mathcal{R}^2} + 2E - U_{ib,ib} \right\} X_{ib} = \frac{2}{\mathcal{R}} \sum_{j \neq i} Q_{ib,jb}^{(0)} \frac{d}{d\mathcal{R}} X_{jb}(\mathcal{R}), \quad (I2'')$$

где

$$U_{ib,ib} = W_{ib} + K_{ib,ib}^{(0)} \mathcal{R}^{-2},$$

$$W_{ib} = 2E_{ib} + 4\mathcal{R}^{-2} = 2E_{ib}^{(0)} + 2Z_a(Z_b-1)\sqrt{m_b}\mathcal{R}^{-1} + (2m_b E_{ib}^{(2)} + 4)\mathcal{R}^{-2},$$

$$K_{ib,ib}^{(0)} = \langle ib | -\frac{1}{2}\vec{\ell}^2 + \frac{1}{2}n^2 | ib \rangle,$$

$$Q_{ib,jb}^{(0)} = \frac{1}{2} m_b (E_{ib}^{(0)} - E_{jb}^{(0)}) \langle ib | r_b^2 | jb \rangle.$$

Явное выражение для  $U_{ib,ib}$  с точностью  $O(\mathcal{R}^{-2})$  получаем, используя формулу (32) для эквивалентного оператора  $\hat{\Lambda}_b$ :

$$U_{ib,ib} = 2E_{ib}^{(0)} + 2Z_a(Z_b-1)\sqrt{m_b}\mathcal{R}^{-1} + \Lambda_{ib}\mathcal{R}^{-2}.$$

Здесь  $\Lambda_{ib}$  - собственное значение эквивалентного оператора:

$$\Lambda_b = -3 \frac{n}{Z_b} \frac{m_b}{m_b} g_b A_z + (\vec{J} - \vec{\ell})^2 \quad (36)$$

приближенного интеграла движения, возникающего в задаче рассеяния заряженной частицы (a) на атоме (bc) в дипольном приближении<sup>/15/</sup>.

В случае  $Z_a = Z_b = 1$ , наиболее важно для задач мезоатомной физики, асимптотика решений системы уравнений (I2'') в открытом канале  $ib = |Jm_J \pm nq\rangle$  с импульсом  $k_{ib} = \{2(E - E_{ib}^{(0)})\}^{1/2} > 0$  имеет вид:

$$X_{ib} \approx B_i \sin \left\{ k_{ib} \mathcal{R} \left( 1 - \frac{m_b \langle ib | r_b^2 | ib \rangle}{2\mathcal{R}^2} - \frac{\Lambda_{ib}}{2k_{ib}\mathcal{R}^2} \right) + \delta_i \right\},$$

$$X_{jb} \approx -B_i \frac{m_b \langle ib | r_b^2 | jb \rangle}{2\mathcal{R}} \cos \left\{ k_{ib} \mathcal{R} - \frac{\Lambda}{2k_{ib}\mathcal{R}} + \delta_i \right\}, \quad (37)$$

где  $\delta_i$  - фаза рассеяния, а  $B_i$  - нормировочный множитель. Асимптотика волновой функции (II') в канале  $a + bc$  с точностью  $O(\mathcal{R}^{-1})$  при  $k_{ib} r_b^2 \ll \mathcal{R}$  равна<sup>/9/</sup>:

$$\Psi_b(\mathcal{R}, \Omega) = \Psi_{ib}^{(0)}(\Omega) X_{ib}(\mathcal{R}) + \sum_{j \neq i} \Psi_{jb}^{(0)}(\Omega) X_{jb}(\mathcal{R}) =$$

$$\approx \Psi_{ib}^{(0)}(\Omega_b) \sin \left\{ k_{ib} \left( \mathcal{R} - \frac{m_b r_b^2}{2\mathcal{R}} \right) - \frac{\Lambda_{ib}}{2k_{ib}\mathcal{R}} + \delta_i \right\} B_i \approx$$

$$\approx \Psi_{ib}^{(0)}(\Omega_b) \sin \left\{ \tilde{k}_{ib} \mathcal{R}_b - \frac{\Lambda_{ib}}{2\tilde{k}_{ib}\mathcal{R}_b} + \delta_i \right\} B_i.$$

Таким образом, учет слабой кинематической связи  $\mathcal{R}^{-1} \partial/\partial \mathcal{R}$  в правой части (I2'') приводит к восстановлению модуля якобиевского вектора  $\sqrt{m_b} R_b \approx (\mathcal{R} - m_b r_b^2 / 2\mathcal{R})$ , см. (I), и якобиевского импульса  $\tilde{k}_{ib} = \sqrt{m_b} k_{ib}$  в асимптотике компоненты  $\Psi_b$  полной волновой функции (II') при больших, но конечных  $\mathcal{R}$ . Это означает, что асимптотика решений  $X_{jb}(\mathcal{R})$  адиабатической системы уравнений (I2) согласована с физическими граничными условиями (38) задачи рассеяния в канале  $a + bc$ . Очевидно, что в канале  $ac + b$  физические граничные условия также удовлетворяются, поскольку и в этом случае гиперсферические переменные (2) переходят в соответствующую якобиевскую пару  $\vec{R}_a, \vec{r}_a$ .

#### Заключение

Возможность точной и достаточно простой постановки физических граничных условий в гиперсферическом адиабатическом базисе (9) связана с тем, что в отличие от стандартного<sup>/12/</sup>, в нем с самого начала учитывается конечность масс ядер  $a$  и  $b$ . Это приводит к тому, что при решении конкретных задач рассеяния необходимо вычислять термы и волновые функции гиперсферической задачи двух центров (9) для каждого набора масс  $M_a$  и  $M_b$ . В настоящее время такая возможность появилась, благодаря разработке эффективных численных алгоритмов решения многомерных спектральных задач<sup>/10/</sup>. Фазы  $\delta_i$  амплитуды  $B_i$ , полученные из численного решения адиабатической системы (I2) с асимптотическими условиями (I2'), (37) можно использовать для вычисления сечений низкоэнергетических процессов рассеяния в системе трех частиц. Соответствующие выражения для амплитуды рассеяния и сечений будут даны в следующей работе.

В заключение авторы благодарят И.В. Комарова, Е.А. Соловьева за помощь в работе, Ю.Н. Демкова, С.П. Меркурьева, Л.И. Пономарева, Ю.А. Симонина и участников их семинаров за полезные обсуждения.

Литература

1. Мотт Н., Мэсси Г. Теория атомных столкновений. М., "Мир", 1969.
2. Комаров И.В., Пономарев Л.И., Славянов С.Ю. Сфероидальные и кулоновские сфероидальные функции. М., "Наука", 1976.
3. Соловьев Е.А. ЖЭТФ, 1986, т.90, стр. II65-II71.
4. Овчинников С.Ю., Соловьев Е.А. ЖЭТФ, 1986, т.90, 92I-932.
5. Fano U. Phys.Rev.A, 1981, v.24, p.2402-2416.
6. Soloviev E.A., Vinitzky S.I. J.Phys.B, 1985, v.18, p.L557 (-562).
7. Фок В.А. Изв. Акад.наук СССР, сер.физ., 1954, т.18, с.161-172; Norske Vidensk Selsk Forh 1958, v.31, p.138-51.
8. Kadomtsev M.B., Vinitzky S.I. J.Phys.B, 1986, v.19, p.L756 - 62.
9. Виницкий С.И., Кадомцев М.Б., Вукайлович Ф.Р. Препринт ОИЯИ, P4-86-439, 1986.
10. Гусев В.В., Касчиев М.С. Препринт ОИЯИ, PII-85-758, PII-85-965, 1985, Дубна.
11. Ponomarev L.I. Atom Kernenergie 1983, v.43, p.175- 81; Contribution on ICAP XI and ICSF, Tokio, 1986.
12. Виницкий С.И., Пономарев Л.И. ЯФ, 1974, т.20, с.576-588. (1975, Sov.J. Nucl.Phys. v.20, p.310- 22 ).
13. Chang E.S., Fano U. Phys.Rev.A, 1972, v.6, p.173 - 185.
14. Никифоров А.Ф., Суслов С.К., В.Б.Уваров. Классические ортогональные полиномы дискретной переменной. М., "Наука", 1985.
15. Островский В.Н., Соловьев Е.А. ЖЭТФ, 1974, т.66, с.1590-98. Островский В.Н. ЖЭТФ, 1977, т.73, с.2077-87.

Рукопись поступила в издательский отдел  
17 октября 1986 года.

Виницкий С.И., Кадомцев М.Б.

P4-86-696

Адиабатическое представление задачи трех тел

в гиперсферических координатах. Постановка задачи

Для кулоновской задачи трех тел дана гиперсферическая параметризация независимых переменных на пятимерной сфере  $S^5$  с гиперрадиусом  $R_H$  - первым линейным инвариантом тензора инерции трех частиц. Гиперсферический адиабатический базис определяется как полный набор собственных функций и собственных значений угловой части гамильтониана на сфере  $S^5$  при каждом фиксированном значении медленной переменной  $R_H$ . Парциальный анализ в представлении полного момента  $J$  позволяет отделить три угла Эйлера и свести гиперсферическую задачу на  $S^5$  к системе  $J+1$  двумерных задач. Дана классификация состояний гиперсферического адиабатического базиса при малых и больших значениях гиперрадиуса  $R_H$  и явно выделена логарифмическая особенность Фока в точке тройного соударения. Схема ориентирована на расчет сечений мезоатомных процессов в проблеме мюонного катализа.

Работа выполнена в Лаборатории теоретической физики ОИЯИ.

Препринт Объединенного института ядерных исследований, Дубна 1986

Перевод Т.Ю.Думбрайс

Vinitzky S.I., Kadomtsev M.B.

H4-86-696

Adiabatic Representation for Three-Body Problem

in Hyperspherical Coordinates. Statement of the Problem

For a three-body Coulomb problem a hyperspherical parametrization is given for independent variables on a five-dimensional sphere  $S^5$  with a hyperradius  $R_H$ , the first linear invariant of the tensor of inertia of three particles. The hyperspherical adiabatic basis is defined as a complete set of eigenfunctions and eigenvalues of the Hamiltonian angular part on the sphere  $S^5$  for every fixed value of the slow variable  $R_H$ . The partial wave analysis in the total momentum  $J$  representation allows us to separate three Euler angles and to reduce the hyperspherical problem on  $S^5$  to a system of  $(J+1)$  two-dimensional problems. Classification is given of states of the hyperspherical adiabatic basis for small and large values of the hyperradius  $R_H$  and the logarithmic Fock singularity at the point of three-body collision is explicitly shown. The approach is assigned at computing the cross sections of mesic-atomic processes in the muon-catalysis problem.

The investigation has been performed at the Laboratory of Theoretical Physics, JINR.

Preprint of the Joint Institute for Nuclear Research, Dubna 1986